

DOI:10.12119/j.yhyj.202003006

## 紫外辐照条件下二维填料对聚丙烯耐老化行为的影响

郭凡<sup>1,2,3</sup>, 刘志启<sup>1,2</sup>, 李娜<sup>1,2,3</sup>, 王庭胜<sup>1,2</sup>, 李丽娟<sup>1,2</sup>

(1. 中国科学院青海盐湖研究所, 中国科学院盐湖资源综合高效利用重点实验室, 青海 西宁 810008;

2. 青海省盐湖资源开发工程技术研究中心, 青海 西宁 810008; 3. 中国科学院大学, 北京 100049)

**摘要:**采用水热法合成了二维层状材料——镁镍铁水滑石(MgNiFe-LDH),考察不同水热时间和水热温度对MgNiFe-LDH合成的影响,通过X射线衍射(XRD)、傅里叶变换红外光谱(FT-IR)、扫描电镜(SEM)和热分析(TG/DTG)等测试方法,对样品的结构、形貌及热性能进行表征。将合成的MgNiFe-LDH添加至聚丙烯(PP)制备MgNiFe-LDH/PP复合材料,通过对材料加速老化测其力学性能,研究了添加MgNiFe-LDH前后材料机械性能变化。结果表明,当Mg<sup>2+</sup>:Ni<sup>2+</sup>:Fe<sup>3+</sup>=2:1:1,水热温度140℃、水热时间24 h时,合成的MgNiFe-LDH为片状,形貌较为规整,颗粒粒径约为2 μm。MgNiFe-LDH/PP复合材料经加速老化后,填充MgNiFe-LDH复合材料的抗老化性能优于纯PP,当MgNiFe-LDH的填充量为6 wt%复合材料拉伸强度不变,可明显提高PP的抗老化性能。

**关键词:**二维材料;制备;聚丙烯;紫外;耐老化

中图分类号:TQ325.14

文献标识码:A

文章编号:1008-858X(2020)03-0054-07

聚丙烯(Polypropylene, PP)是一种广泛应用于电力、机械、化工等行业的高分子材料。在户外应用中,日光中的紫外线(UV)会导致PP的光降解,出现变脆、表面龟裂、发黄褪色等问题。聚丙烯链上存在大量不稳定的叔碳原子,在有氧的情况下,只需要很小的能量就可以将叔碳原子上的氢脱除成为叔碳自由基。聚丙烯的氧化反应机理分为以下三步。链引发:聚丙烯结构中的叔碳原子在光、热和氧的作用下极易生成自由基:RH→R<sup>\*</sup>+H<sup>\*</sup>RH+O<sub>2</sub>→R<sup>\*</sup>+HO<sub>2</sub>;链传递:自由基自动催化生成过氧化自由基和大分子过氧化物,过氧化物分解又产生自由基,自由基又可和聚合物反应,使自由基不断传递,反应延续;R<sup>\*</sup>+O<sub>2</sub>→ROO<sup>\*</sup>, ROO<sup>\*</sup>+RH→ROOH+R<sup>\*</sup>, ROOH→RO<sup>\*</sup>+HO<sup>\*</sup>, 2ROOH→RO<sup>\*</sup>+ROO<sup>\*</sup>+H<sub>2</sub>O,

RO<sup>\*</sup>+RH→ROH+R<sup>\*</sup>, \*OH+RH→HOH+R<sup>\*</sup>;链终止:自由基相互结合生成稳定的产物,终止链反应:2RO<sub>2</sub><sup>\*</sup>→ROOR+O<sub>2</sub>, R<sup>\*</sup>+RO<sub>2</sub><sup>\*</sup>→ROOR, 2R<sup>\*</sup>→R-R。在氧化降解过程中,大分子断裂导致PP的分子量及熔体黏度降低,导致材料强度下降并出现粉化现象。而在氧化过程中生成的氧化结构,如羰基、过氧化物等使PP的电性能劣化,增加了材料对光降解的敏感性。紫外线照射会引起PP的光氧化降解,降低了其使用寿命,限制了PP复合材料在汽车、家电等高端领域的应用。PP的光老化研究已成为材料应用领域的研究热点之一<sup>[1-5]</sup>。因此,为了提高PP的抗紫外线性能及其使用寿命,在制造过程中必须将一些抗老化剂添加到PP复合材料中。

水滑石类化合物(Layered Double Hydrox-

收稿日期:2018-06-10;修回日期:2018-09-16

基金项目:青海省科技厅国际合作项目(2015-HZ-812);国家自然科学基金柴达木盐湖化工科学研究联合基金(U1607104);青海省千人计划项目(2017)

作者简介:郭凡(1992-),男,硕士研究生,研究方向:材料化学。Email:fg1214590629@qq.com。

通信作者:刘志启(1983-),男,研究员,研究方向:资源综合利用及功能材料研究。Email:zqliu@isl.ac.cn。

ides, LDH) 是一类阴离子黏土,由带正电的类水镁石层和带有电荷的层间阴离子组成。它的结构通式可表示为  $[M_{1-x}^{2+} M_x^{3+} (OH)_2] [A_{x/n}^{n-} \cdot mH_2O]$ ,  $M^{2+}$  代表  $Mg^{2+}$ 、 $Zn^{2+}$ 、 $Ni^{2+}$ 、 $Cu^{2+}$ 、 $Co^{2+}$  等 II 价金属阳离子;  $M^{3+}$  代表  $Al^{3+}$ 、 $Fe^{3+}$ 、 $Cr^{3+}$ 、 $Se^{3+}$  等 III 价金属阳离子;  $A^{n-}$  代表  $CO_3^{2-}$ 、 $SO_4^{2-}$ 、 $Cl^-$ 、 $NO_3^-$  或者其他有机阴离子; X 的取值一般在  $0.2 < x < 0.5$  的范围内<sup>[6]</sup>。由于水滑石可作为催化剂、阴离子交换剂、UV 吸附剂、阻燃添加剂、聚合物添加剂等,所以受到了越来越广泛的关注。相比于有机 UV 吸收剂,基于 LDH 的紫外线屏蔽材料的抗 UV 老化性能可以很大的提高,LDH 的层状结构使得无机层片对紫外光有屏蔽效应,层片的金属元素和层间的阴离子可以吸收紫外光,这两种效果的叠加使得有机材料中的 LDH 具有优异的紫外光吸收能力<sup>[7]</sup>。已有学者研究,通过向 PP 中添加水滑石粉体可以提高 PP 的抗紫外老化性能。北京化工大学的王桂荣等<sup>[8]</sup>通过向 PP 中混炼入 3 wt% 的 ZnAl - LDH 或刻蚀后的 ZnAl - LDH 制备 ZnAl - LDH/PP 复合材料,经紫外光加速老化试验后测其红外光谱,结果表明,ZnAl - LDH 的存在可以在一定程度上抑制和消除活性自由基,PP 的抗紫外老化性能得到了提高。Peng 等<sup>[9]</sup>将十二烷基硫酸钠(SDS)改性过的 5 wt% 的 LDH 与 PP 通过注射成型制备 PP/LDH 复合材料,经过紫外线照射后测其性能,结果表明,基于 LDH 的纳米复合材料具有比基于 MMT 的纳米复合材料更低的光降解速率。Wang 等<sup>[10]</sup>通过柠檬黄(tartrazine)改性 LDH 然后与 PP 共混得到 Mg, Al - tartrazine LDH/PP 复合材料,通过检测其紫外吸收能力,结果表明,复合材料的 UV 吸光度从纯 PP 的 14% 增加到 92%。

水滑石可以作为紫外吸收剂添加到 PP 中来提高 PP 的抗老化能力。然而,目前还没有关于三元 MgNiFe - LDH 应用于 PP 耐老化、抗 UV 性能的报道。因此,本文探讨了水热温度和水热时间对 MgNiFe - LDH 合成的影响,合成了晶型好,结晶度高的 MgNiFe - LDH 并将其与 PP 熔融混炼得到 MgNiFe - LDH/PP 复合材。通过加速老化,研究了 MgNiFe - LDH 填充前后和填充量对复合材料机械性能的影响。

## 1 实验部分

### 1.1 实验原料

碳酸钠 ( $Na_2CO_3$ , 分析纯), 天津市永大化学试剂有限公司; 氢氧化钠 ( $NaOH$ , 分析纯), 天津市大茂化学试剂厂; 氯化铁 ( $FeCl_3 \cdot 6H_2O$ , 分析纯) 国药集团化学试剂有限公司; 氯化镍 ( $NiCl_2 \cdot 6H_2O$ , 分析纯) 国药集团化学试剂有限公司; 氯化镁 ( $MgCl_2 \cdot 6H_2O$ , 分析纯), 国药集团化学试剂有限公司; 聚丙烯 (PP, PP1304E3Q), 埃克森美孚国际公司; 马来酸酐接枝聚丙烯 (PP - g - MA, PPDT258S), 埃克森美孚国际公司。

### 1.2 实验仪器

恒温加热磁力搅拌器 (DF - 101S), 杭州明远仪器有限公司; 循环水真空泵 (SHZ - D), 杭州明远仪器有限公司; pH 计 (PHS - 3C), 上海越平科学仪器有限公司; 水热合成反应釜 (250 ml), 上海予华科技仪器设备; 电热鼓风干燥箱 (DHG - 9140A), 上海一恒科技有限公司; 转矩流变仪 (RM - 200c), 哈尔滨哈普电器技术有限公司; 气动切片机 (XH - 405A), 东莞市锡华检测仪器有限公司; 氙灯耐气候试验箱 (B - SUN - II), 上海一恒科学仪器有限公司。

### 1.3 MgNiFe - LDH 的合成

采用水热法合成 MgNiFe - LDH, 其中金属离子的摩尔比为  $Mg^{2+} : Ni^{2+} : Fe^{3+} = 2: 1: 1$ 。称取 25.41 g  $MgCl_2 \cdot 6H_2O$ 、14.85 g  $NiCl_2 \cdot 6H_2O$  和 16.89 g  $FeCl_3 \cdot 6H_2O$  配置成  $Mg^{2+}$  浓度为 0.50 mol/L,  $Ni^{2+}$  浓度为,  $Fe^{3+}$  浓度为 0.25 mol/L 的混合盐溶液 250 ml(记为溶液 A); 称取 40.00 g  $NaOH$ , 15.90 g  $Na_2CO_3$  配成  $NaOH$  浓度为 1 mol/L,  $Na_2CO_3$  浓度 0.15 mol/L 的混合碱溶液 1 L(记为溶液 B); 取 100 ml 蒸馏水加入四口烧瓶水浴加热至 60 °C, 以一定流量同时加入溶液 A 和溶液 B, 保持加料速度维持烧瓶 pH 在 10 左右, 将反应后的料浆转入水热反应釜, 放入 120°C 的恒温干燥箱中分别反应 0 h、4 h、12 h、24 h 和 48 h, 冷却后经过滤、洗涤, 在 80 °C 下干燥 8 h 得到 MgNiFe - LDH。

#### 1.4 MgNiFe-LDH/PP 复合材料的制备及老化

称取 90 份 PP 和 10 份 PP-g-MA 共 40 g, 不同质量分数的 MgNiFe-LDH(质量分数分别为 0 wt%、1 wt%、2 wt%、4 wt% 和 6 wt%), 在 180 °C, 转速为 40 r/min 的条件下混炼 10 min, 180 °C 下加压成型, 在气动切片机上将薄片切成哑铃型。将得到的哑铃型复合材料放到老化箱中加速老化, 材料的老化时间分别为 0 h、10 h、20 h、40 h 和 80 h。

表 1 不同 LDH/PP 复合材料配方

Table 1 Different formula of LDH/PP composites

样 品	PP/g	PP-g-MA/g	LDH/g
PP	36	4	0
PP/1wt% LDH	36	4	0.4
PP/2wt% LDH	36	4	0.8
PP/4wt% LDH	36	4	1.6
PP/6wt% LDH	36	4	2.4

#### 1.5 性能测试

采用美国帕纳科公司 X' Pro Pert 型粉晶 X 射线衍射(XRD)仪分析样品的物相结构, 采用 Cu 靶  $K_{\alpha}$  射线( $\lambda = 0.15418 \text{ nm}$ )进行辐射, 加速电压和电流分别为 40 kV 和 40 mA, 扫描角度为 5 ~ 80°; 在日本电子株式会社 JMS-5610LY 型低真空激光扫描电子显微镜(SEM)下观察样品形貌和显微结构, 样品经过喷金处理, 加速电压为 2 kV。采用美国热电公司 Nexus 型傅里叶变换红外光谱仪(FT-IR)表征样品的官能团结构, 用 KBr 压片法测定粉末样品的红外光谱图, 测定波数范围  $400 \text{ cm}^{-1} \sim 4000 \text{ cm}^{-1}$ 。采用德国 Netzsch 公司的 STA449F3 同步热分析仪测量样品质量随温度的变化,  $N_2$  气氛下, 升温速率为 10 °C/min, 测量温度范围为室温 ~ 1200 °C。用英斯特朗公司 5965U5004 型万能试验机测定材料的拉伸强度与断裂伸长率(GB/T1040.3-2006), 拉伸速率为 50 mm/min。

## 2 结果与讨论

### 2.1 MgNiFe-LDH 的 XRD 分析

图 1 为水热温度 120 °C、不同水热时间下合成的 MgNiFe-LDH 的 XRD 结果。从图 2 可以看出所得样品在  $2\theta$  为 11.4°、23.2°、34.3°、38.4°、46.0°、60.8°、61.1° 时均出现了衍射峰, 其对应水滑石的晶面分别 (003)、(006)、(009)、(015)、(018)、(110)、(113), 与标准卡片(JCPDS no. 41-1428)的特征衍射峰相一致, 由(003)和(006)衍射峰可知 MgNiFe-LDH 为层状结构<sup>[11-12]</sup>。随着水热时间的增加, 衍射峰的峰高逐渐增加, 峰型更尖锐, 几乎无杂峰, 表明在这 5 个条件下都可以合成 MgNiFe-LDH, 而且随着水热时间的增加, 合成的 MgNiFe-LDH 晶相单一、结晶度更高、结构更规整。

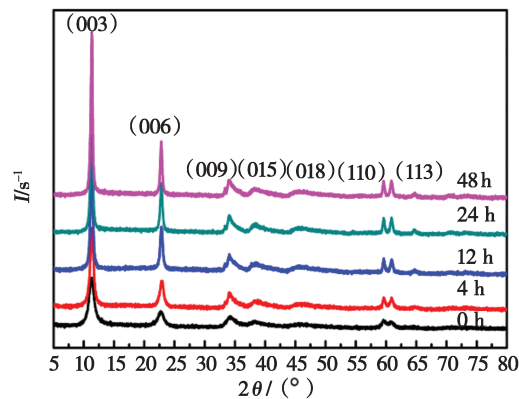


图 1 不同水热时间 MgNiFe-LDH 的 X 射线粉末衍射图

Fig. 1 XRD patterns of different hydrothermal time on MgNiFe-LDH

图 2 为水热 24 h、不同水热温度条件下合成的 MgNiFe-LDH 的 XRD 结果。从图 2 可以看出当水热温度为 100 °C、120 °C、140 °C 样品的衍射峰基线低而平稳, 衍射强度高, 有明显的水滑石特征峰; 随着温度的升高, 衍射峰峰型更加尖而窄。表明在这 3 种条件下均能合成 MgNiFe-LDH, 而且随着温度的升高, MgNiFe-LDH 的结晶性更好。当水热温度为 160 °C 时, 样品的衍射峰峰型明显不是 MgNiFe-LDH 的衍射峰, 表明了水热温

度过高时,不利于合成 MgNiFe-LDH。

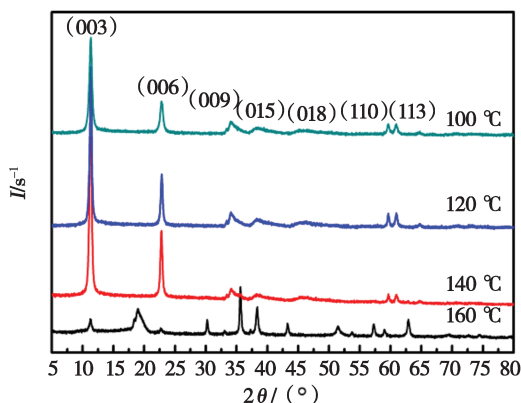


图2 不同温度下制备的MgNiFe-LDH的X射线粉末衍射图

Fig. 2 XRD patterns of LDH at different temperature

## 2.2 MgNiFe-LDH的SEM分析

图3为140℃、水热24 h条件下合成的Mg-NiFe-LDH的SEM图。由图3可以看出MgNiFe-LDH的结构为明显的片状结构,与上述XRD结果一致,直径约为2 μm。



图3 水热温度为140℃,水热24 h镁镍铁水滑石扫描电镜图

Fig. 3 Morphologies of MgNiFe-LDH at 140℃ and 24 h

## 2.3 MgNiFe-LDH的FT-IR分析

图4为140℃、水热24 h条件下合成的MgNiFe-LDH的FT-IR图。从图4可以看出,样品在3464 cm<sup>-1</sup>处的吸收峰归属于层间水中-OH的伸缩振动,由于存在与层间CO<sub>3</sub><sup>2-</sup>的氢键

作用力,相对于标准峰值(3 600 cm<sup>-1</sup>)发生了蓝移;1 629 cm<sup>-1</sup>出现的吸收峰对应的是层间结晶水-OH的弯曲振动,证明了结合水的存在;1 360 cm<sup>-1</sup>处的吸收峰是层间阴离子CO<sub>3</sub><sup>2-</sup>中的C-O伸缩振动特征峰,由于存在与层间水中-OH间存在氢键作用,相对于标准峰(1 445 cm<sup>-1</sup>)发生了蓝移;721 cm<sup>-1</sup>处的吸收峰对应的是C-O的弯曲振动<sup>[13]</sup>。FT-IR图进一步证实了MgNiFe-LDH的成功合成。

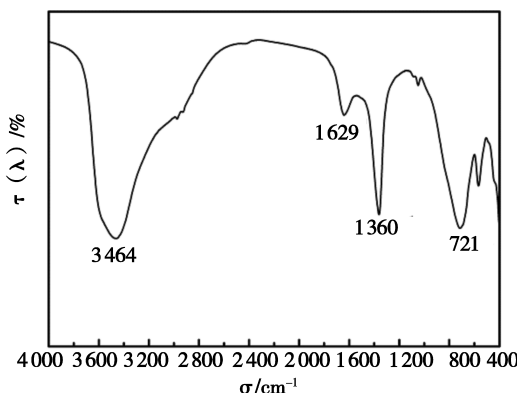


图4 水热温度140℃,水热24 h MgNiFe-LDH的红外光谱图

Fig. 4 FT-IR spectra of MgNiFe-LDH at 140℃ and 24 h

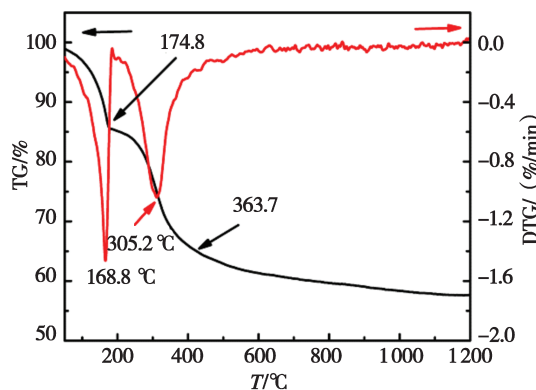


图5 水热温度140℃,水热24 h MgNiFe-LDH的TG/DTG图

Fig. 5 TG/DTG curves of MgNiFe-LDH at 140℃ and 24 h

## 2.4 MgNiFe-LDH的热稳定性分析

图5为140℃、水热24 h条件下合成的Mg-NiFe-LDH的TG/DTG图。由图5可以看出,

MgNiFe-LDH 的热分解过程可以分为两个阶段：第一阶段其初始分解温度在 106 °C 左右，终止分解温度为 174.8 °C 左右，在 168.8 °C 达到吸热峰值，主要是由于 MgNiFe-LDH 表面吸附水和层间结晶水的脱除；第二个阶段分解温度在 261 °C 左右，终止分解温度在 363.7 °C 左

右，在 305.2 °C 达到吸热峰值，主要是由于层间  $\text{CO}_3^{2-}$  以  $\text{CO}_2$  的形式脱除，此时层板上的 -OH 也开始以  $\text{H}_2\text{O}$  的形式脱落，MgNiFe-LDH 失去其层状结构。两个分解阶段的失重分别约为 14.68% 和 24.86%。

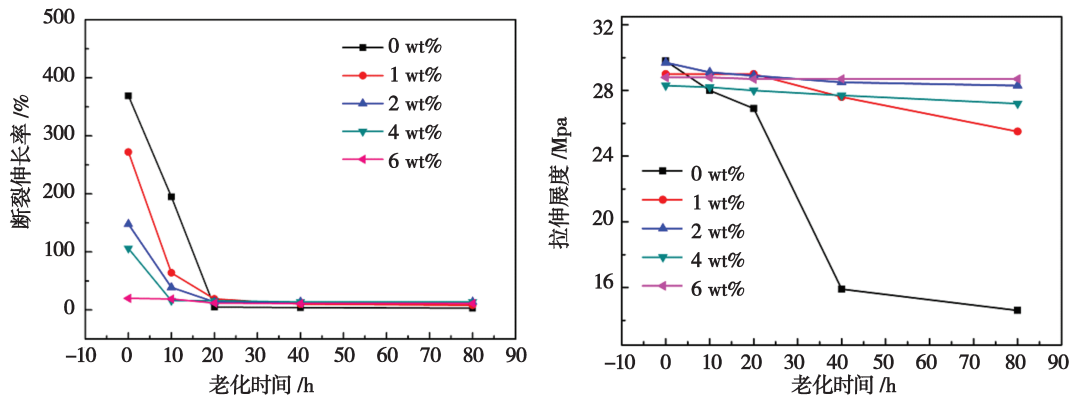


图 6 老化时间对复合材料力学性能的影响

Fig. 6 Effects of aging time on the mechanical properties of composites

表 2 MgNiFe-LDH 添加量和老化时间对复合材料力学性能的影响

Table 2 Effects on the mechanical properties of composites of loading of MgNiFe-LDH and aging time

LDHs 填充量/wt%	力学性能	老化时间/h				
		0	10	20	40	80
0	拉伸强度/MPa	30.0	30.0	26.9	20.6	14.6
	断裂伸长率/%	369	195	5	4	3
1	拉伸强度/MPa	29.0	29.0	29.0	27.6	25.5
	断裂伸长率/%	162	23	8	3	3
2	拉伸强度/MPa	29.7	29.1	28.9	28.5	28.3
	断裂伸长率/%	44	15	9	4	4
4	拉伸强度/MPa	28.3	28.2	28.0	27.7	27.2
	断裂伸长率/%	20	17	8	4	4
6	拉伸强度/MPa	28.8	28.8	28.7	28.7	28.7
	断裂伸长率/%	12	10	9	5	5

## 2.5 老化时间对 MgNiFe-LDH/PP 复合材料力学性能的影响

图 6 为老化时间对 MgNiFe-LDH/PP 复合材料力学性能的影响。由图 6 可以看出，随着老化时间增加，填充 0 wt%、1 wt%、2 wt%、4 wt% 的 MgNiFe-LDH 复合材料的断裂伸长率急剧下降，

而填充 6 wt% 的 MgNiFe-LDH 复合材料的断裂伸长率基本不变；随着老化时间的增加，填充 0 wt% 的 MgNiFe-LDH 复合材料的拉伸强度急剧下降，填充 1 wt% 的 MgNiFe-LDH 复合材料的拉伸强度下降的稍微缓慢，而填充 2 wt%、4 wt%、6 wt% 的 MgNiFe-LDH 复合材料的拉伸强度下降的非常缓慢甚至基本不变；经过 80 h 加

速老化后,填充 2 wt% 和 6 wt% 的 MgNiFe - LDH 复合材料的拉伸强度相差不大。纯 PP 的拉伸强度随老化时间的延长而快速下降,这主要是因为紫外线的能量较高,可以使 PP 上的叔碳原子上的氢脱除成为叔碳自由基,由于叔碳自由基非常活跃,它能使分子链发生反应从而使 PP 丧失原有性能,致其老化<sup>[3]</sup>;而填充了 MgNiFe - LDH 的复合材料可以减缓 PP 的老化,并且随着 MgNiFe - LDH 的增加,效果明显。原因是 MgNiFe - LDH 的超分子结构与性质以及其对紫外线有一定的吸收能力和屏蔽作用,当紫外线促使 PP 产生活性自由基时,MgNiFe - LDH 的金属层板带正电荷还可以吸收自由基<sup>[8]</sup>,从而保护了 PP;填充 2 wt% 和 6 wt% MgNiFe - LDH 复合材料的耐老化能力相差不大。

### 3 结 论

通过水热法成功合成了 MgNiFe - LDH,控制合成条件可制备纯度高,结晶性好的产品。将合成的 MgNiFe - LDH 填充到 PP 中得到 MgNiFe - LDH/PP 复合材料,经过加速老化后测其力学性能,证明了 MgNiFe - LDH 对 PP 的耐老化能力有显著影响;当 MgNiFe - LDH 填充量为达到一定含量时,复合材料的耐老化性能提升明显。

### 参考文献:

- [1] 刘海林,伍玉娇,杨春萍. 聚丙烯材料老化性能研究进展 [J]. 塑料科技,2014,42(9):117 - 120.
- [2] 于慧杰,杨守法,王义,等. 聚丙烯光老化性能变化研究综述[J]. 当代化工,2017(12):2606 - 2609.
- [3] 孟丹,董丽荣. 聚丙烯的耐老化性能研究[J]. 信息记录材料,2018(6).
- [4] 王四贝,金滟,康鹏,等. 聚丙烯光老化影响因素研究进展 [J]. 中国塑料,2012,(6):9 - 15.
- [5] 葛铁军,刘禹. 聚丙烯耐老化改性研究 [J]. 塑料科技,2015,43(7):70 - 74.
- [6] Cavani F,Trifiro F,Vaccari A,*et al.* Hydrotalcite-type anionic clays: Preparation, properties and applications. [J]. Catalysis Today,1991,11(2): 173 - 301.
- [7] Peng Y,Wang W,Cao J,*et al.* Effects of a layered double hydroxide (LDH) on the photo-stability of wood flour/polypropylene composites during UV weathering [J]. RSC Advances,2015,5(51): 41230 - 41237.
- [8] 王桂荣. 水滑石插层结构紫外阻隔材料的组装与性能研究 [D]. 北京:北京化工大学,2015.
- [9] Ding P,Qu B J. Synthesis of exfoliated PP/LDH nano-composites via melt-intercalation: Structure, thermal properties, and photo - oxidative behavior in comparison with PP/MMT nano-composites[J]. Polymer Engineering & Science,2010,46(9): 1153 - 1159.
- [10] Wang Q,Wu J W,Gao Y S,*et al.* Polypropylene/Mg<sub>3</sub>Al-tartrazine LDH nano - composites with enhanced thermal stability, UV absorption, and rheological properties [J]. Rsc Advances,2013,3(48):26017 - 26024.
- [11] 张辉,陆嘉炜,余剑清,等. 镁铝水滑石的制备及其对铅离子的吸附性能[J]. 广州化工,2017,45(8):69 - 72.
- [12] Tao Y F,Lin W G,Gao L,*et al.* Low-cost and effective phenol and basic dyes trapper derived from the porous silica coated with hydrotalcite gel. [J]. Journal of Colloid & Interface Science,2011,358(2):554 - 561.
- [13] 董子杏,毕佳鑫,海波. 镍钴铬三元水滑石的制备及其电化学性能探索[J]. 化工技术与开发,2017,46(9):11 - 14.

## Effect of Two-Dimensional Filler on The Anti-aging of Polypropylene Under Ultraviolet Irradiation

GUO Fan<sup>1,2,3</sup>, LIU Zhi-qi<sup>1,2</sup>, LI Na<sup>1,2,3</sup>, WANG Ting-sheng<sup>1,2</sup>, LI Li-juan<sup>1,2</sup>

(1. Key Laboratory of Comprehensive and Highly Efficient Utilization of Salt Lake Resources, Qinghai Institute of Salt Lakes, Chinese Academy of Sciences, Xining, 810008, China; 2. Qinghai Engineering and Technology Research Center of Salt Lake Resources Development, Xining, 810008, China; 3. University of Chinese Academy of Sciences, Beijing, 100049, China)

**Abstract:** Two-dimensional intercalation material——MgNiFe-LDH was synthesized by hydrothermal synthesis method. The effects of different aging time and hydrothermal temperature on the synthesis of MgNiFe-LDH were investigated. The structure, morphology and thermal performance of MgNiFe-LDH were analyzed by X-ray diffraction (XRD), Fourier transform infrared (FT-IR), Scanning electron microscopy (SEM) and Thermal analysis (TG/DTG). We added MgNiFe-LDH into PP to obtain MgNiFe-LDH/PP composites and then tested the variety of mechanical properties of PP before and after adding MgNiFe-LDH by accelerating aging. The dates showed that with the molar ratio of  $Mg^{2+} : Ni^{2+} : Fe^{3+}$  was 2:1:1, the temperature was 140°C and the aging time was 24 h, MgNiAl-LDH is flaky, the morphology is relatively regular, and the particle size was about 2  $\mu\text{m}$ . The anti-aging properties of MgNiFe-LDH/PP were better than pure PP after accelerating aging. Under UV light irradiation, when the loading of MgNiFe-LDH was at 6 wt% the anti-aging performance of PP could be significantly enhanced and the stress tensile of composites could be remained unchangeable.

**Key words:** Two-dimensional material; Preparation; Polypropylene; Ultraviolet; Anti-aging